

# Yosomos

*El blog donde todos somos uno*

## Segunda Parte del Potencial Transferido

🕒 marzo 8, 2010   📁 Ciencia   🔖 Amit Goswami, Consciencia, Física, Jacobo Grinberg Zylberbaum, Leah Bella Attie, Mecánica Cuántica, Neurociencia, Psicología, Vida y obra de Jacobo Grinberg Zylberbaum  
Querid@s lector@s:

Yosomos orgullosamente presenta la segunda parte de la publicación de Leah Bella Attie acerca del famoso experimento de Jacobo Grinberg Zylberbaum y sus colaboradores hecho en el Laboratorio de Comunicación Humana de la facultad de Psicología de la UNAM.

# EL POTENCIAL TRANSFERIDO

**EVIDENCIAS CIENTIFICAS DE LA COMUNICACIÓN DIRECTA ENTRE CEREBROS.**

**SEÑALES CORRELACIONADAS DE EEG (Electroencefalografía)**

**ENTRE SUJETOS AISLADOS.**

**UN ACERCAMIENTO CIENTÍFICO A LA TELEPATÍA**

**ATTIE LEAH BELLA,**

**GRINBERG-ZYLBERBAUM JACOBO.**

**Segunda Parte**

Privacidad & Cookies: este sitio usa cookies. Al continuar usando este sitio, estás de acuerdo con su uso. Para saber más, incluyendo como controlar las cookies, mira aquí: [Política de Cookies.](#)

Cerrar y aceptar

## EXPERIMENTO I

### METODO

#### *Sujetos*

Para la realización de este experimento participaron doce parejas de voluntarios interesados en que se les registrara su actividad EEG. Sus edades variaban entre los 18 y 46 años y no tenían antecedentes de daño cerebral a enfermedades psiquiátricas. Diez parejas estaban conformadas por un hombre y una mujer y las dos restantes fueron un par de gemelas y un par de gemelos. Cinco parejas participaron en dos ocasiones, realizándose dos experimentos completos con cada pareja y con una de las parejas se replicó el experimento en 4 ocasiones. Se registró un total de 20 experimentos.

#### *Equipo y Registro*

Se empleó un equipo Neurosearch-24, que permite el registro simultáneo de 19 canales de EEG en todas las derivaciones del sistema 10-20 Internacional (localizaciones frontales, centrales, parietales, temporales, occipitales y movimientos oculares FP1 y FP2). Se colocaron los electrodos con un electro-cap que incluye todas las derivaciones de dicho sistema con electrodos de referencia en los lóbulos de las orejas. El electro-cap consiste en una gorra que cubre toda la cabeza y que tiene los electrodos insertados, estos hacen contacto con el cuero cabelludo con la ayuda de una sustancia conductora que se inyecta a través del electrodo..

La estimulación visual se presentó en una sucesión de 100 estímulos activados por un tablero de ajedrez reversible (los cuadros negros cambian a blancos y viceversa) sobre un monitor de computadora. La presentación del tablero se dio en forma automática con una frecuencia de 2 Hz.

Se registraron épocas (muestras) de 1000 mseg de actividad de EEG sincronizadas con la presentación del estímulo visual, de 512 puntos con un intervalo de muestreo de 1.953 mseg entre puntos (se utilizó la aproximación a 2 mseg). Cada época se dividió en 400 mseg antes de la presentación del estímulo (pre-estímulo) y 600 mseg después de la presentación del estímulo (post-estímulo). Se utilizaron filtros pasa-altos a 2 Hz. y pasa-bajos a 30 Hz..

Se llevó a cabo en una cámara Semisilente y de Faraday, electromagnéticamente aislada.

Para lograr los registros control se ocultó la pantalla de la computadora utilizando una tabla de madera de 50 x 40cm, forrada con una tela negra para evitar el reflejo del monitor. También se utilizaron unos audífonos amortiguadores de ruido Hoppes 9 para evitar que el sujeto escuchara sonidos externos.

P Privacidad & Cookies: este sitio usa cookies. Al continuar usando este sitio, estás de acuerdo con su uso. Para saber más, incluyendo como controlar las cookies, mira aquí: [Política de Cookies](#).

SE: Sujeto Estimulado.

SNE: Sujeto No Estimulado

Se le colocaron al SNE los electrodos con el electro-cap (19 derivaciones del sistema 10-20 internacional) y se le conecto al Neurosearch-24 con el objetivo de grabar su actividad EEG. Al SE nunca se le conectaron electrodos (nunca se registró su actividad EEG) con el objeto de evitar la posibilidad de interacciones espurias inter-equipo.

1.- Se le pidió a la pareja sentarse cómodamente en el interior de la cámara de Faraday y permanecer durante 20 minutos a solas, con los ojos cerrados, tomados de las manos (si querían), intentando sentirse uno al otro.

La instrucción hizo énfasis en la necesidad de que lograran sentirse mutuamente, que alcanzaran una comunicación empática no verbal; principalmente que intentaran adentrarse en el sentimiento de unión o fusión con la pareja, sentirse uno, captar la mutua presencia. El medio para llegar a la comunicación directa fue decidido por cada pareja (meditación, relajación, contacto físico, visualización).

2.- Sesión experimental: Veinte minutos después de comenzar la interacción se prendía la luz de la cámara de Faraday, siendo esta la señal con la cual el SE debía salir de la cámara. Sin perder la sensación de comunicación, el SE debía sentarse frente al monitor de la computadora, colocarse los audífonos y observar el tablero de ajedrez que aparecía en la pantalla. Simultáneamente a la presentación de los estímulos, la computadora registraba la actividad EEG SNE, el cual se encontraba en el interior de la cámara y NO tenía conocimiento del momento en que se presentan los estímulos a su compañero.

3.- Sesión control: Terminada la estimulación visual, el sujeto colocaba la tabla de madera frente a la pantalla de la computadora, de tal manera que al presentar por segunda vez los estímulos, no lograra verlos y, por lo tanto, no se activaba un potencial provocado; mientras tanto se continuaba el registro del SNE en la cámara de Faraday. Se contrabalanceo.

En ningún momento, en el transcurso de los experimentos, los sujetos tuvieron contacto con los investigadores; todo funcionaba automáticamente con el objetivo de evitar romper el sistema unificado creado por ellos y evitar colapsar otro registro manipulado por otros cerebros.

Análisis estadísticos ANEXO 1

## RESULTADOS

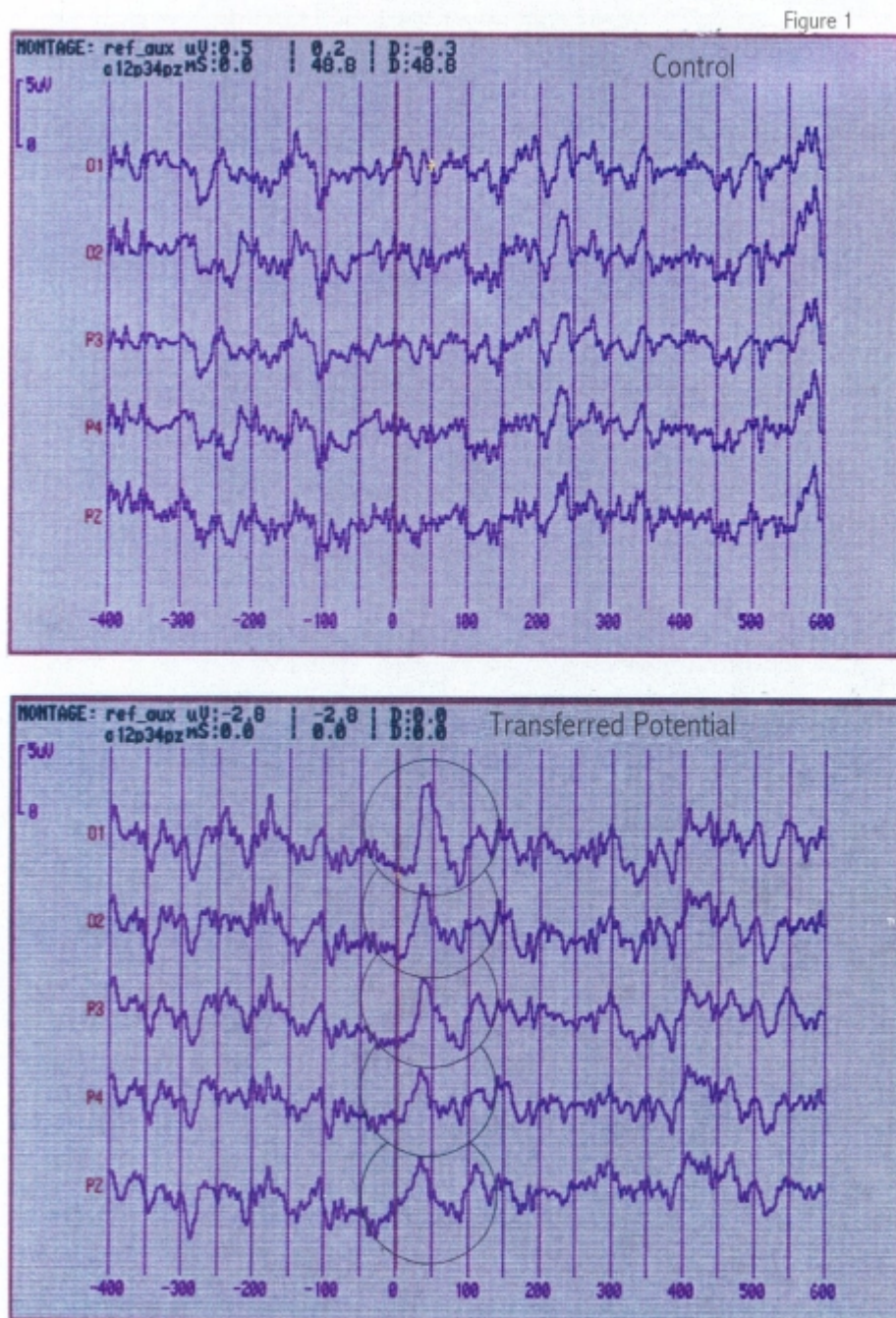
En los análisis de los sujetos NO estimulados fue posible reconocer un Potencial Transferido. Este potencial aparece después de haber establecido la interacción y aislar a los sujetos y esta claramente correlacionado

Privacidad & Cookies: este sitio usa cookies. Al continuar usando este sitio, estás de acuerdo con su uso. Para saber más, incluyendo como controlar las cookies, mira aquí: [Política de Cookies.](#)

Cerrar y aceptar

post-estimulacion.

Un ejemplo del potencial transferido se puede observar en la figura 1 donde se presentan 5 derivaciones (elegidas por mostrar el potencial transferido más amplio). El potencial transferido presenta un pico positivo alrededor de los 40 mseg y otro negativo a los 80 mseg, a diferencia del registro control en donde no se observa potencial alguno.



Privacidad & Cookies: este sitio usa cookies. Al continuar usando este sitio, estás de acuerdo con su uso. Para saber más, incluyendo como controlar las cookies, mira aquí: [Política de Cookies](#).

Cerrar y aceptar

FIGURA 1. Promedio (36 estímulos) del EEG del sujeto no estimulado en 5 derivaciones de la sesión control en la cual no se observa cambio alguno a lo largo del promedio. En la grafica inferior se muestra el potencial transferido del mismo sujeto el cual presenta un pica positivo alrededor de los 40 mseg y otro negativo a los 80 mseg (el estimulo se presenta al compañoero en el tiempo 0).

En algunas parejas de sujetos, en lugar de un potencial transferido encontramos un cambio de frecuencia del EEG en la sección post-estimulación. Se podría hablar de una "Actividad transferida".

En la figura 2 se presentan dos graficas, el registro control y el registro experimental, del SNE en una superposición de 4 derivaciones. Se observa que el cerebro no presenta cambios en la situación control ni en la porción pre-estimulo experimental, a diferencia de un cambio radical en la actividad EEG en la situación experimental post-estimulo.

Figure 2

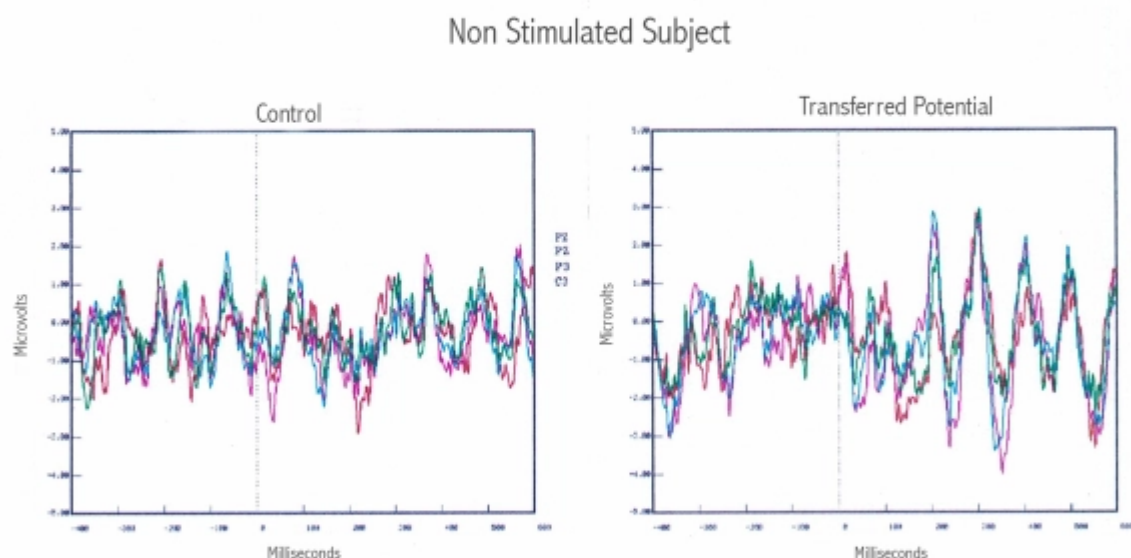
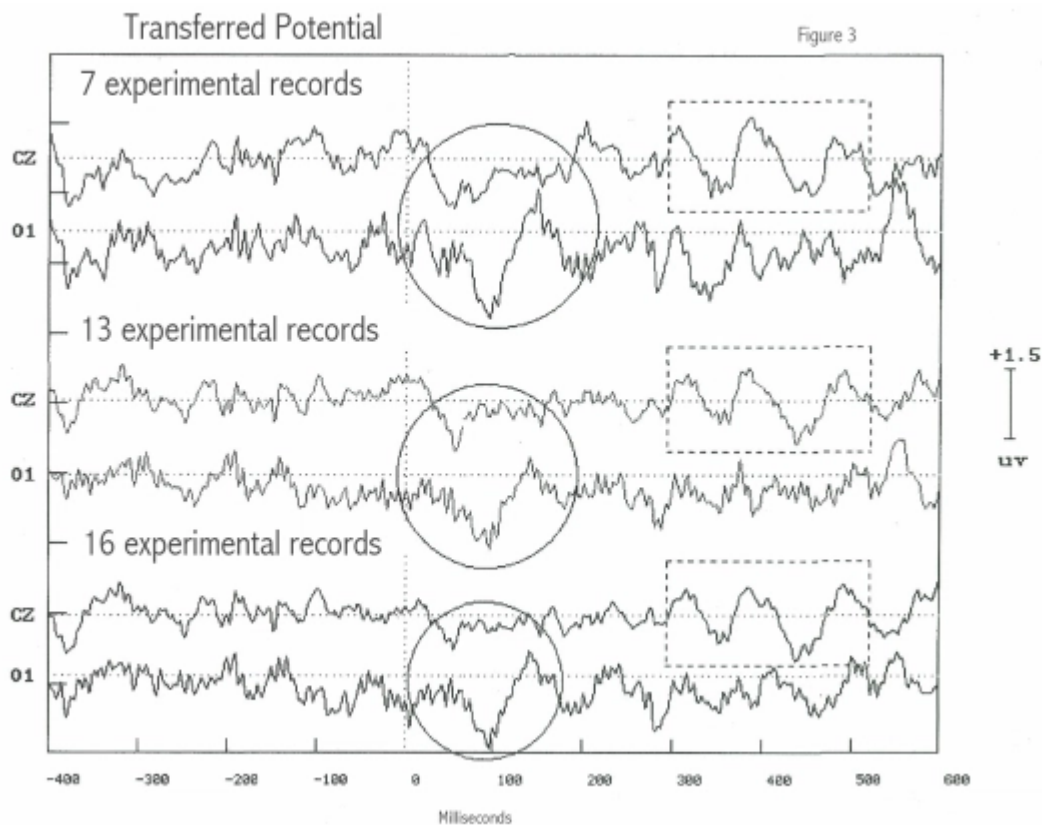


FIGURA 2. La primera gráfica (control) muestra la actividad EEG del sujeto no estimulado en la sesión control (4 derivaciones superpuestas), la segunda muestra el potencial transferido del mismo sujeto y las mismas derivaciones en la sesión experimental. Se observa el cambio de actividad EEG post-estimulación en la situación experimental.

Privacidad & Cookies: este sitio usa cookies. Al continuar usando este sitio, estás de acuerdo con su uso. Para saber más, incluyendo como controlar las cookies, mira aquí: [Política de Cookies](#).

Cerrar y aceptar



En la figura 3 se presenta el gran promedio de 7 registros, 13 registros y 16 registros en la situación experimental. Se puede observar el potencial transferido que aparece post-estimulación. El estudio del potencial transferido en las 16 derivaciones ha permitido observar que en las zonas fronto-parietales la morfología del potencial transferido se presenta con dos componentes, un potencial alrededor de los primeros 100 mseg y un cambio de frecuencia posterior a los 350 mseg. Conforme se avanza dirección rostro-dorsal hasta llegar a la zona occipital, el potencial transferido aparece mas amplio con un componente temprano negativo alrededor de los 100 mseg seguido por uno positivo a los 150 mseg. Los componentes tardíos (cambio de frecuencia) mas representativos se observan en el área frontal, central y parietal.

FIGURA 3. Gran promedio de 7, 13 Y 16 registros experimentales en las derivaciones Cz y O1. Se observa un potencial transferido post-estimulación. La morfología del potencial transferido en Cz se observa con un potencial alrededor de los primeros 100 mseg y un cambio de frecuencia posterior a los 350 mseg. Conforme se avanza dirección rostro-dorsal hasta llegar a la zona occipital, el potencial transferido aparece mas amplio con un componente temprano negativo alrededor de los 100 mseg seguido por uno positivo a los 150 mseg y los componentes tardíos (cambio de frecuencia) ya no son tan representativos como en el caso de los transferidos frontales, centrales y parietales.

La “prueba t” aplicada entre el pre-estimulo contra el post-estimulo del gran promedio de 18 de los experi-

Privacidad & Cookies: este sitio usa cookies. Al continuar usando este sitio, estás de acuerdo con su uso. Para saber más, incluyendo como controlar las cookies, mira aquí: [Política de Cookies](#).

Cerrar y aceptar

Las cuatro replicas de una de las parejas de sujetos mostraron la aparición del potencial transferido en todas las ocasiones, la morfología del potencial cambio de registro en registro, sin embargo, en todas aparece un cambio en la actividad EEG del sujeto 2 en la sección postestímulo, la cual no aparece en sus registros control. En la figura 4 se observa el gran promedio de los 4 experimentos en 4 derivaciones (01-02 y Fz-F3) Y los topógramas en diferentes latencias, se observa claramente el potencial transferido post-estimulación y el aumento del voltaje en los topógramas. Se aplicó una prueba t a estos valores que aparecen en la misma figura mostrando los valores estadísticos mas altos alrededor de los 150 msec y 500 msec (en este análisis se utilizó una  $P < 0.10$ ) a los 2.35), los topógramas t corroboran estos resultados.

Los resultados indican que en el área Cz, Pz, 01 Y 02 se encuentran los potenciales transferidos más representativos de todo el sistema 10-20 internacional.

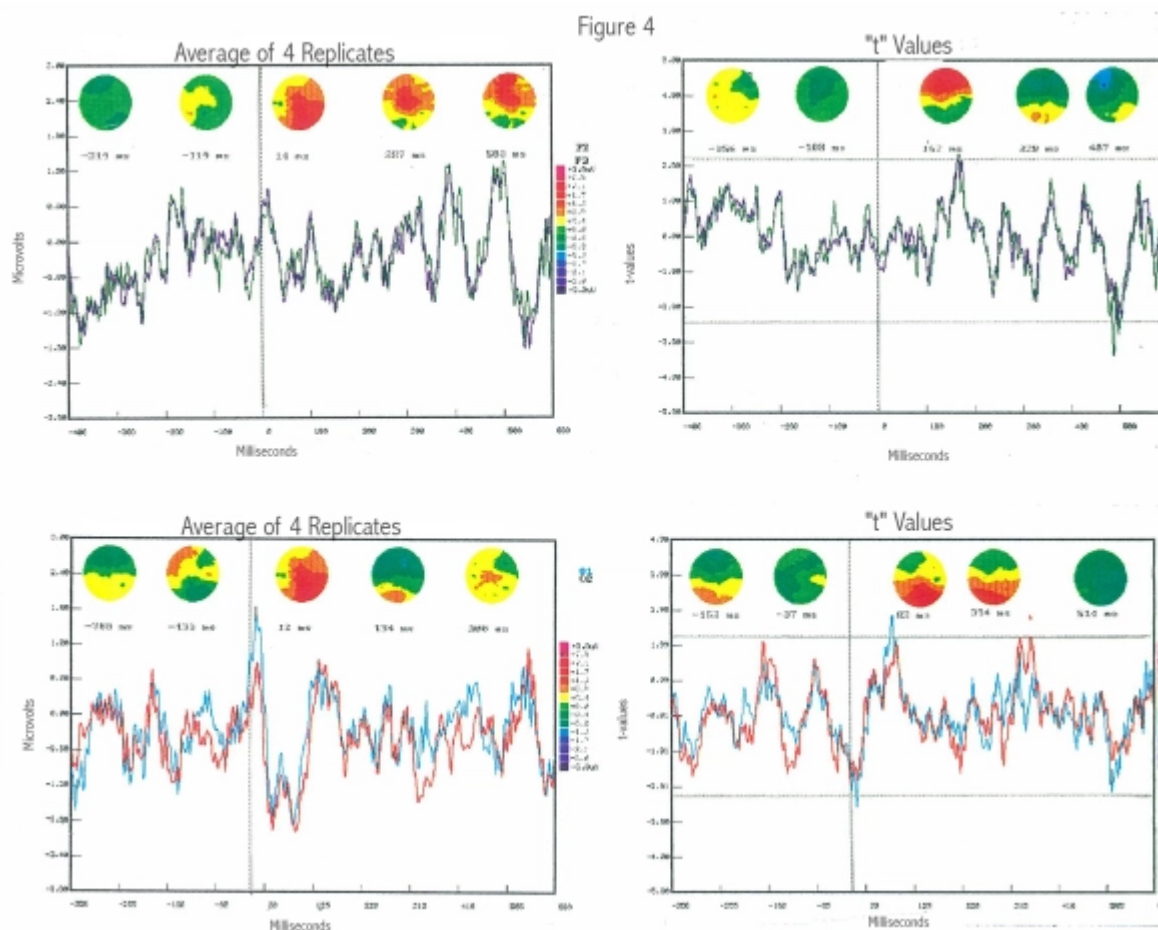


FIGURA 4. Las dos graficas superiores muestran el gran promedio de 4 replicas en las derivaciones 01-02 y fz-f3 y los topogramas del sujeto no estimulado cuando su compañero esta recibiendo la estimulación. Se observa un potencial transferido post-estimulación entre los 0 y 150 msec y el aumento del voltaje en los topogramas a la misma latencia. En las graficas inferiores se presenta la prueba t y los topogramas t de las mismas derivaciones. Estos son estadísticamente significativos con un valor de 2.35 significativo al 0.05

Privacidad & Cookies: este sitio usa cookies. Al continuar usando este sitio, estás de acuerdo con su uso. Para saber más, incluyendo como controlar las cookies, mira aquí: [Política de Cookies.](#)

Cerrar y aceptar

## METODO

### *Sujetos*

SE: Sujeto Estimulado.

SNE: Sujeto No Estimulado

Esta sección consistió de 8 experimentos en los que participaron siete pares de sujetos (y una replica) que se ofrecieron voluntariamente a participar en el proyecto. Una de estas parejas estaba constituida por una madre y su hijo (de 13 años de edad), otra pareja fue un matrimonio de Chamanes de entre 69 y 75 años de edad, la tercera un par de estudiosos de la Cabala y las cuatro parejas restantes estaban conformadas por sujetos de ambos sexos de entre 20 y 30 años.

### *Equipo y Registro*

Esta sección experimental difiere a la anterior por dos variables, 1) se registro la actividad EEG de ambos sujetos (en lugar de solamente la del SNE como en el Exp I) con el objetivo de obtener la actividad de todas las derivaciones cerebrales de cada miembro de cada pareja (amplificadores independientes) y 2) los estímulos visuales que se aplicaron fueron destellos luminosos (no tablero de ajedrez) con el objeto de obtener potenciales provocados de mayor amplitud.

Se utilizó un equipo Neuroscan que permite el registro simultaneo de 32 canales de EEG en todas las derivaciones del sistema 10-20 internacional, estos 32 canales se dividieron en dos amplificadores independientes de 16 canales cada uno integrados a una computadora. A cada uno de los sujetos se le colocaron le electrodos, obteniendo 16 derivaciones en cada sujeto; los electrodos se colocaron con dos electro-caps que incluyen las derivaciones mas representivas (f4, f3, fz, Cz, Pz, C4, C3, p3, P4, T3, T4, T5, T6, 01 Y 02.) de dicho sistema con electrodos de referencia en los lóbulos de las orejas para cada uno de los dos sujetos.

La estimulación visual se llevo a cabo aplicando una sucesion de 100 destellos activados por un fotoestimulador Grass en su máxima intensidad, la lámpara fue colocada a 70cm del sujeto. La aplicación de estos se hizo de forma automática con un programa de intervalos variables (entre 2 y 5 seg.) activados por un programa de intervalo aleatorio.

Se registraron 100 segmentos de actividad de EEG en ambos sujetos sincronizadas por la aparición de cada destello. Cada época con 256 puntos con una frecuencia de muestreo de 7.91 mseg entre puntos, obteniendo 2000 mseg de duración de cada segmento.

Cada segmento se dividió en 1000 mseg de registro antes de la presentación del destello (preestímulo) y 1000 mseg después de la presentación del destello (post-estímulo)

Privacidad & Cookies: este sitio usa cookies. Al continuar usando este sitio, estás de acuerdo con su uso. Para saber más, incluyendo como controlar las cookies, mira aquí: [Política de Cookies](#).

Cerrar y aceptar



estuvieron separados 3 metros uno del otro.

Los registros control se llevaron a cabo desconectando el fotoestimulador, pero aplicando el pulso de sincronía a la computadora.

### *Procedimiento*

Se le colocaron a ambos sujetos electrodos con los electro-caps (15 derivaciones del sistema 10-20 internacional mas un par de electrodos oculares a cada sujeto) y se conectaron al Neuroscan con el objetivo de grabar sus actividades EEG.

1. - Se le pidió a la pareja que se sentara cómodamente en el interior de una cámara de Faraday y que permaneciera durante 20 minutos a solas, con los ojos cerrados, tomados de las manos (en caso de que aceptaran hacerlo), intentando sentirse uno al otro.

La instrucción hizo énfasis en la necesidad de que logaran sentirse mutuamente, que arribaran a una comunicación empática no verbal; principalmente que intentaran adentrarse en el sentimiento de unión o fusión con la pareja, sintiéndose uno y captando la mutua presencia. Cada pareja decidió el medio para llegar a la comunicación directa. (meditación, relajación, contacto físico, visualización.).

2.- Veinte minutos después de comenzar la interacción se prendió la luz de la cámara de Faraday, siendo esta la señal con la cual el SE debía cambiarse de una cámara a la otra, conectarse por si solo al sistema de registro y sentarse frente a la lámpara de estimulación.

3.- Al SE se le aplicaron una sucesión de 100 destellos sincronizados con el registro de su actividad EEG.

4.- Al segundo sujeto no se le estimulo, se le pidió permanecer con los ojos cerrados y sin moverse mientras se registraban 100 muestras de su actividad EEG sincronizadas con la estimulación del SE.

5.- Terminando la estimulación visual, se volvió a registrar a ambos sujetos, pero se desconecto el fotoestimulador con el objetivo de obtener el registro control.

Análisis estadísticos ANEXO 2

## RESULTADOS

Una vez mas, la presentación del destello al SE provoco la aparición del potencial transferido en su compañero que se encontraba a distancia y con el que previamente había interactuado. La ventaja de registrar a ambos sujetos después de comprobar que el potencial transferido no se debe a interacciones espurias inter-

e  
ti

Privacidad & Cookies: este sitio usa cookies. Al continuar usando este sitio, estás de acuerdo con su uso. Para saber más, incluyendo como controlar las cookies, mira aquí: [Política de Cookies.](#)

Cerrar y aceptar

La figura 5 es un ejemplo de la superposición de ambos potenciales, el provocado y el trasferido, en las derivaciones F4 y Fz de un par de sujetos. Se observa una similitud morfológica alrededor de los 300 mseg post-estimulo (SNE líneas azul oscuro y verde, SE líneas azul cielo y rojo). Los pares de topógramas en las diferencial latencias muestran la actividad del SNE (primer topógramas de cada par) y del SE (segundo topógramas de cada par). Se observa un aumento en el voltaje en el SNE que corresponde con la máxima actividad del SE en el momento del potencial transferido, este aumento solamente puede ser explicado por la actividad provocada en el sujeto estimulado.

Los valores de correlación se encuentran señalados debajo de cada par de topógramas. La r de Pearson a los 300 mseg alcanzo un valor de 0.744, a diferencia de los valores previos al estimulo los cuales nunca sobrepasaron el 0.148.

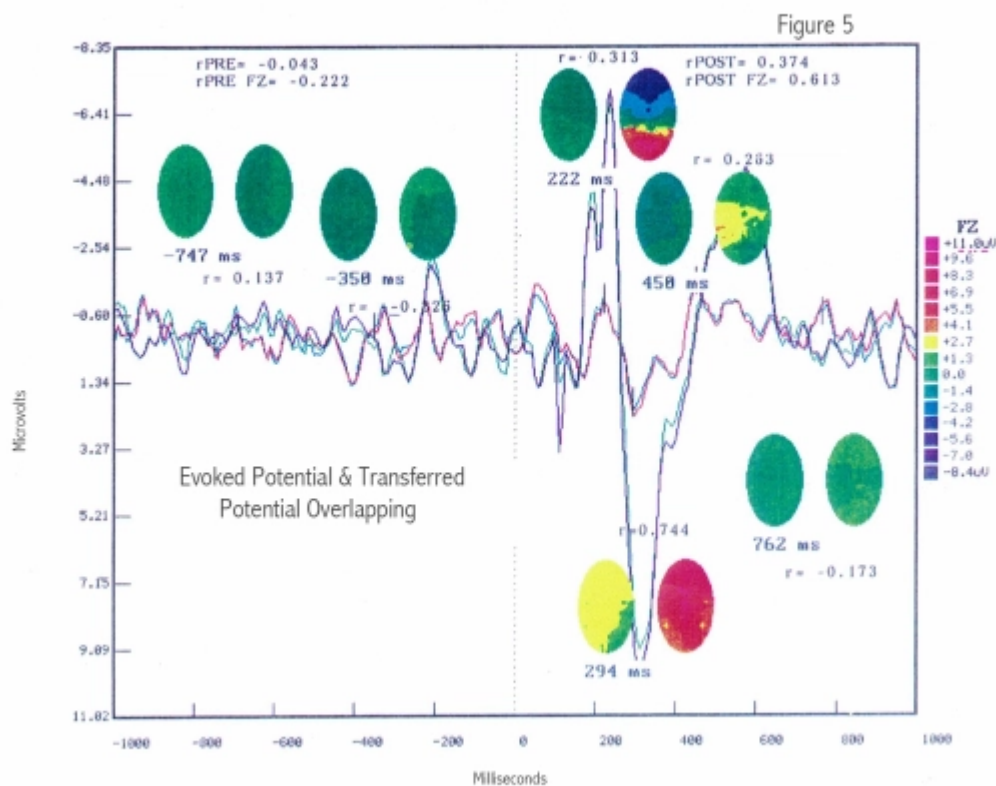


FIGURA 5. Superposición de ambos potenciales, el provocado y el trasferido, en las derivaciones F4 y Fz de un par de sujetos. Se observa una similitud morfológica alrededor de los 300 mseg post-estimulo (SNE líneas azul oscuro y verde, SE líneas azul cielo y rojo). Los pares de topógramas en las diferencial latencias muestran la actividad del SNE (primer topógramas de cada par) y del SE (segundo topógramas de cada par). Se observa un aumento en el voltaje en el SNE que corresponde con la máxima actividad del SE en el momento

Privacidad & Cookies: este sitio usa cookies. Al continuar usando este sitio, estás de acuerdo con su uso. Para saber más, incluyendo como controlar las cookies, mira aquí: [Política de Cookies.](#)

Cerrar y aceptar

Los valores de correlación se encuentran señalados debajo de cada par de topógramas. La  $r$  de Pearson a los 300 mseg alcanza un valor de 0.744, a diferencia de los valores previos al estímulo los cuales nunca sobrepasaron el 0.148.

En la parte superior de la grafica se muestran los valores de correlación totales,

Correlación total pre-estimulo es de  $-0.43$  y del post-estimulo es de  $0.374$ .

La correlación de Fz es de  $-2.222$  y la post estimulo de  $0.613$ .

En la parte superior de la grafica se muestran los valores de correlación totales:

Correlación total pre-estimulo es de  $-0.43$  y del post-estimulo es de  $0.374$ .

La correlación de Fz es de  $-2.222$  y la post estimulo de  $0.613$

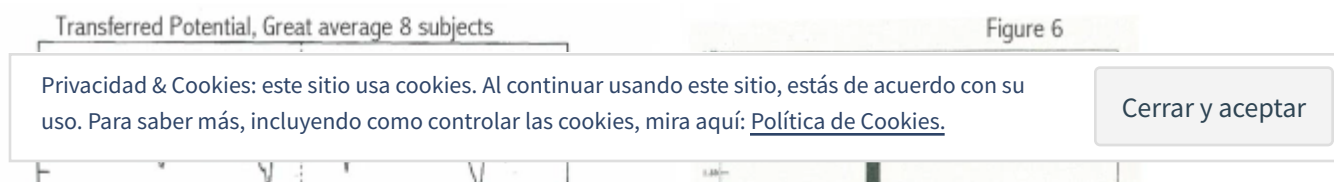
Los valores de correlación  $r$  de Pearson calculados entre la actividad del SE y SNE del ejemplo anterior, muestra un aumento notable post-estimulación en la latencia entre los 200 y 400 mseg. Ver TABLA 2.

Una vez obtenidos los valores de correlación  $r$  de Pearson para cada uno de los 6 pares de sujetos (intersujeto) se procedió a calcular las medias aritméticas de los segmentos pre y post-estimulo en todas las derivaciones. Los valores obtenidos fueron comparados por medio de un análisis de varianza de Bloques Aleatorizados Completos cuyos resultados se pueden ver en la TABLA 3.

Los valores de significancia se encuentran por debajo de  $0.002$  lo cual sugiere que los resultados no se deben al azar. Esto es debido a la similitud morfológica entre los potenciales evocado y transferido de cada par de sujetos.

La prueba  $t$  aplicada entre el pre-estimulo contra el post-estimulo del gran promedio de los 8 experimentos arrojan resultados estadísticamente significativos. Se muestran los valores más altos de cada una de las derivaciones con una  $t$  mayor a  $2.49$  y una confiabilidad de ( $p < 0.001$ ) en la TABLA 4 se presentan las derivaciones y las latencias con los valores “ $t$ ” mas elevados.

En la figura 6 se presentan 3 derivaciones del gran promedio de los 8 sujetos, es evidente como la actividad EEG post-estímulo presenta un cambio notable de frecuencia, esto se corrobora en el espectro de potencia, donde hay un decremento notable alrededor de los 10hz. La prueba  $t$  (gráficas inferiores) pre-estimulo vs post-estímulo arroja una vez más la significancia estadística a la frecuencia mencionada.



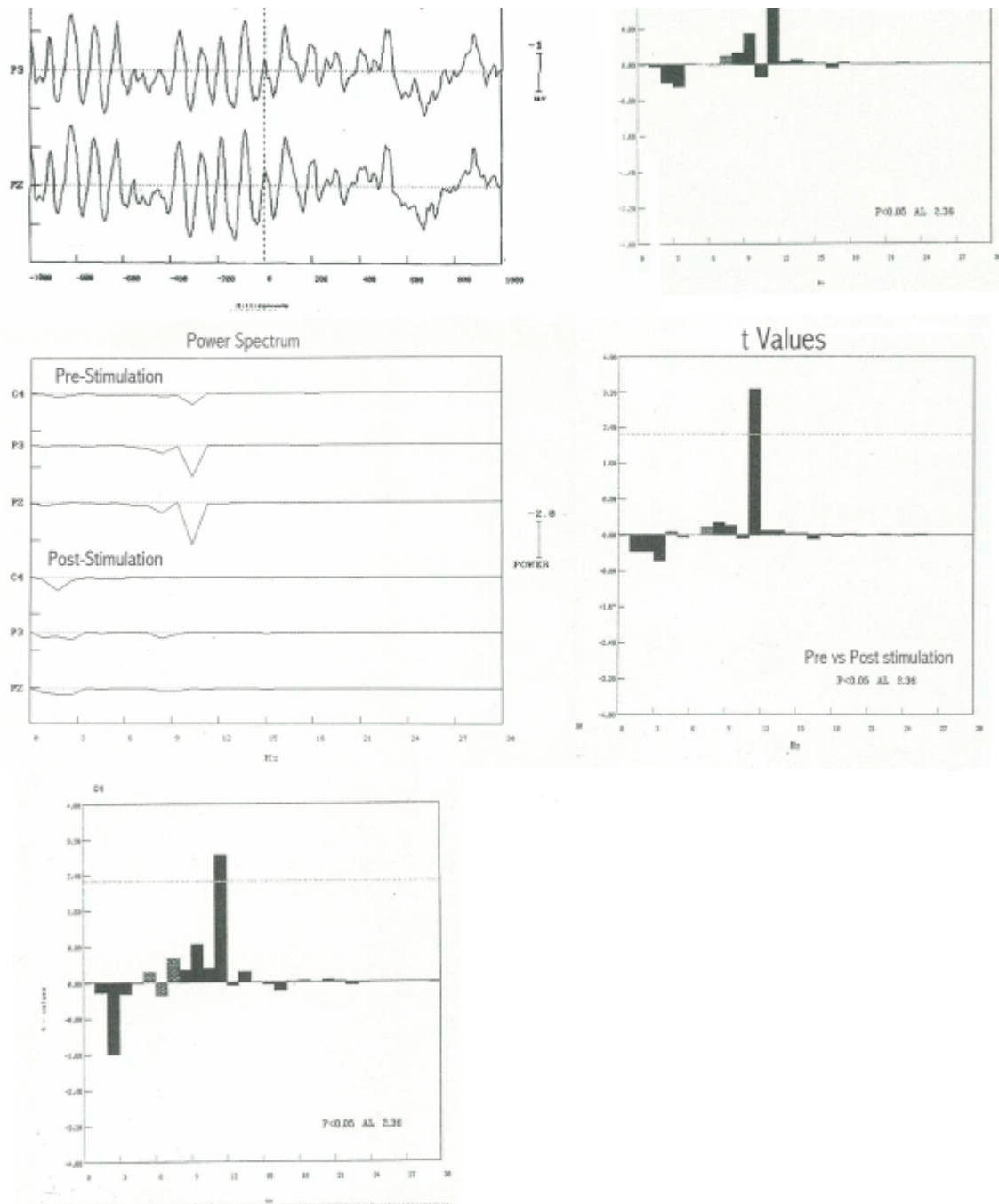


FIGURA 6. 3 derivaciones del gran promedio de los 8 sujetos, es evidente como la actividad EEG post-estímulo presenta un cambio notable de frecuencia, esto se corrobora en el espectro de potencia, donde hay un decremento notable alrededor de los 10hz. La prueba t (gráficas inferiores) pre-estímulo vs. Post-estímulo muestra una vez más la significancia estadística a la frecuencia mencionada.

Uno de los hallazgos mas significativos de esta investigación fue comprobar que el cerebro del SNE aumenta

e Privacidad & Cookies: este sitio usa cookies. Al continuar usando este sitio, estás de acuerdo con su uso. Para saber más, incluyendo como controlar las cookies, mira aquí: [Política de Cookies.](#)

Cerrar y aceptar

potencial transitorio, el cual, como es de esperarse, disminuye rápidamente. Estos resultados se presentan

en la Figura 7 en donde se muestran los topógramas de ambos sujetos a lo largo de las latencias del registro. El primer topógramas de cada par corresponde al SNE, el segundo de cada par al SE. Es asombroso como el cerebro del SNE se mantiene “en reposo” (color verde) y únicamente, alrededor de los 300 mseg se “activa” (color amarillo) simultáneamente al cerebro del compañero. Esto No se registra en los controles.

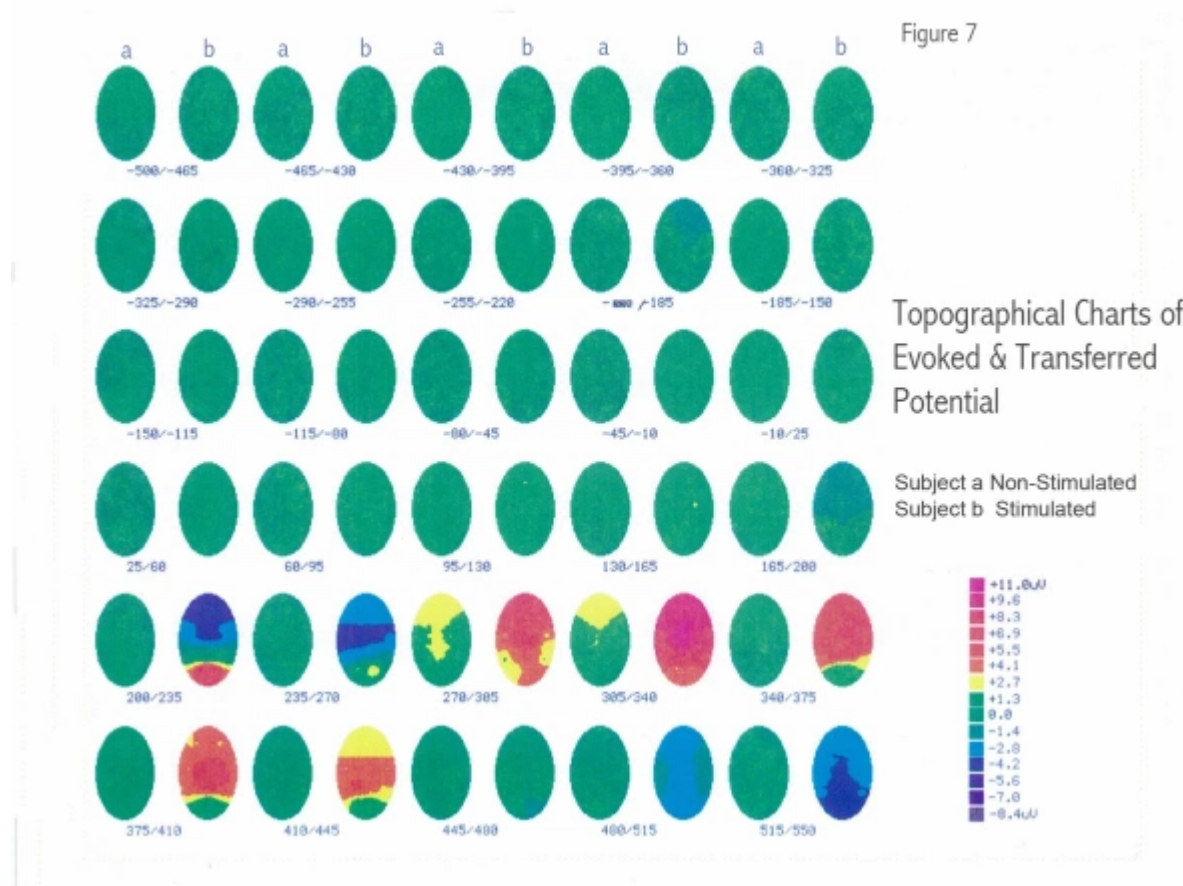


FIGURA 7. Se presenta los topógramas de ambos sujetos a lo largo de las latencias del registro. El primer topógramas de cada par corresponde al SNE, el segundo de cada par al SE. Se observa que el momento de mayor voltaje del potencial provocado, entre los 270-305 mseg, corresponde con la máxima, e única actividad que aparece del potencial transferido. Uno de los hallazgos mas significativos de esta investigación fue comprobar que el cerebro del SNE aumenta en voltaje temporalmente sincrónico con el voltaje mas alto registrado en el SE.

© Leah Bella Attie

Sigue a la tercera parte haciendo click aquí:

Privacidad & Cookies: este sitio usa cookies. Al continuar usando este sitio, estás de acuerdo con su uso. Para saber más, incluyendo como controlar las cookies, mira aquí: [Política de Cookies.](#)

Cerrar y aceptar

Anuncios



INFORMAR DE ESTE ANUNCIO

Share this, comparte:

- Twitter
- Facebook
- LinkedIn
- Correo electrónico
- Pinterest
- Pocket
- Tumblr

Me gusta

Sé el primero en decir que te gusta.

Relacionado

**El Potencial Transferido**  
 En «Ciencia»

**Artículo del Chaman Don  
 Rodolfo de Jalapa**  
 En «Ciencia»

**Feliz Cumpleaño**  
 En «Bienvenida»

## 7 comentarios sobre “Segunda Parte del Potencial Transferido”



marzo 8, 2010 de 5:31 pm

gracias!!! donde queda la primera parte? no es mejor ponerlas juntas?

Privacidad & Cookies: este sitio usa cookies. Al continuar usando este sitio, estás de acuerdo con su uso. Para saber más, incluyendo como controlar las cookies, mira aquí: [Política de Cookies.](#)

Cerrar y aceptar

★ Me gusta



marzo 8, 2010 de 8:58 pm

★ David  
Grinberg  
Preciado

Hola Leah:

Así son los blogs, siempre se lee primero lo último. Puedes leer la sección de Ciencia en dónde encontraras el primero. Y cuando publiquemos las tres partes, sacamos la versión completa. Felicidades por tu artículo, a nombre de todos los lector@s de Yosomos.

Un abrazo

★ Me gusta



marzo 10, 2010 de 3:12 pm

leah Bella

Leah bella, Weston 9 de Marzo 2010.

Noticia de ultimo momento, el Dr Amit Goswami, colaborador directo del trabajo del Potencial Transferido viene a Florida el proximo mes!.

Maravillosa noticia, tengo 16 años de no verlo, desde que desaparecio Jacobo.

Les cuento una corta anécdota, la ultima vez que el Dr Goswami vino a mexico el Dr. Jacobo me pidio que lo llevara a comer saliendo del Laboratorio. Y yo, buena alumna, lo obedeci, lleve al Dr Goswami a tomar tequila y escuchar mariachis!!! Fue muy divertido!

Esta vez estoy muy entusiasmada porque espero publicar en ingles el articulo que ustedes estan leyendo aqui en español gracias a este blog.

Gracias y hasta pronto.

★ Me gusta



marzo 13, 2010 de 4:46 am

Yo conocí los trabajos del Dr. Grinberg hace un par de años más o menos, gracias al Dr.

Privacidad & Cookies: este sitio usa cookies. Al continuar usando este sitio, estás de acuerdo con su uso. Para saber más, incluyendo como controlar las cookies, mira aquí: [Política de Cookies.](#)

Cerrar y aceptar

matuonadu

siendo tú tiempo para difundir con ayuda de todo el gremio científico, una verdad que no se querido exaltar. Te felicito por tu trabajo, y espero ansiosa la tercera parte.

★ Me gusta



marzo 29, 2010 de 9:31 pm

Leah Bella  
Attie

Belinda, leiste ya la tercera parte? Que te parece? El camino a encontrar la comunicacion directa entre todos... imaginate que ya no tendríamos que escribir en la compu, cierro mis ojos, pienso en ti desde un estado profundo y nos conectamos... Te agradezo tus palabras  
Leah Bella

★ Me gusta



febrero 28, 2014 de 3:43 pm

Irma  
Yolanda del  
Río Portilla

Querida Leah, soy Yolanda del Río me gustaría poder tener las tres partes del escrito, me podrias decir que tengo que hacer?, un fuerte abrazo y felicidades.

★ Me gusta



agosto 13, 2011 de 4:30 pm

alertom

por supuesto que sí, es real el fenomeno, y puede activarse el potencial de manera masiva cuando menos lo imaginemos; la cuestión es que el acceso está sellado hasta no cumplir ciertos requisitos, especialmente la autorización que cada individuo debe dar, pues la apertura del cierre implica los más elevados niveles de responsabilidad personal...todavía se percibe la telepatia como alta intrusión...pero es real, no cabe la menor duda, y cada cual la experimentará en toda su magnitud en la misma medida en que se produzca el despertar...bienvenidos todos los que asisten a los nuevos tiempos...

Privacidad & Cookies: este sitio usa cookies. Al continuar usando este sitio, estás de acuerdo con su uso. Para saber más, incluyendo como controlar las cookies, mira aquí: [Política de Cookies.](#)

Cerrar y aceptar

